

маковскими ножками пробка газа имеет высокие параметры на длине, равной диаметру трубы, что может быть использовано для технологических приложений газовой детонации, например для детонационного напыления.

Поступила в редакцию
20/IV 1981

ЛИТЕРАТУРА

1. Т. П. Гавриленко, Ю. А. Николаев, М. Е. Топчиян. ФГВ, 1979, 15, 5.
2. Т. П. Гавриленко, Е. С. Прохоров. Матер. VI Всесоз. симп. по горению и взрыву, Черноголовка, 1980.
3. В. И. Манжалей, В. А. Субботин. ФГВ, 1976, 12, 6.
4. В. Е. Гордеев. Докл. АН СССР, 1976, 226, 3.

ВЛИЯНИЕ ТАНГЕНЦИАЛЬНОГО РАЗРЫВА НА УСТОЙЧИВОСТЬ ПОВЕРХНОСТИ СОУДАРЕНИЯ МЕТАЛЛИЧЕСКИХ ПЛАСТИН

B. B. Сильвестров
(Новосибирск)

Возникновение волн на поверхности раздела при косом соударении металлических пластин [1] в ряде работ связывается с неустойчивостью тангенциального разрыва, реализуемого за счет образования обратной струи перед точкой контакта [2] или движения переходного слоя за точкой контакта [3]. Роль точки контакта сводится к генерации случайных возмущений, дальнейшее развитие которых происходит по механизму гидродинамической неустойчивости Кельвина — Гельмгольца. Согласно другому варианту теории, параметры волн определяются геометрическими характеристиками течения и свойствами материала в окрестности точки контакта [1, 4]. Поэтому определенный интерес представляет исследование устойчивости поверхности раздела при наличии только тангенциального разрыва в условиях, приближенных (по величине и длительности импульса давления, интенсивности тангенциального разрыва) к реализуемым в обычной схеме сварки взрывом.

В работе рассмотрены две схемы плоского столкновения металлических пластин при наличии тангенциального разрыва в значениях касательной (к поверхности соударения) составляющей скорости v_t . В первой схеме (рис. 1, а) — ударник 1 толщиной $\delta_1 = 3 - 5$ мм, разогнанный до скорости $v_1 = 550 - 650$ м/с, соударяется с мишенью 2 (диаметр $\delta_2 = 1$ см, ди-

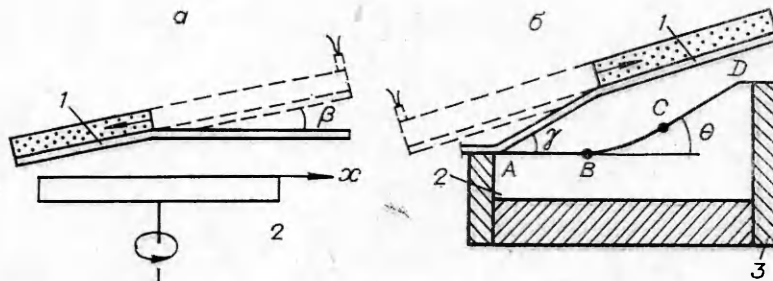


Рис. 1.

метр 20 см). Ударник устанавливается по отношению к мишени под отрицательным углом, равным углу поворота пластины β за детонационным фронтом. После детонации и поворота метаемой пластины происходило столкновение, близкое к плоскому с углом соударения $\gamma = 0 \pm 0,5^\circ$. Тангенциальный разрыв создавался вращением мишени со скоростью 16000 об/мин и составлял $\Delta v_r = 0 \div 167$ м/с. Менее интенсивный разрыв $\Delta v_x = v_1 \sin(\beta/2) \sim 55$ м/с в направлении x обусловлен тем, что при скользящем метании вектор скорости направлен не по нормали к поверхности пластины [1].

Рассмотрены пары медь — медь и дюралюминий — дюралюминий. В обоих случаях на соударяющихся плоскостях не обнаружено ни следов пластической деформации, ни следов проявления какой-либо неустойчивости, несмотря на наличие тангенциального разрыва. Давление соударения составляло 5 и 10 ГПа, и наблюдалось интенсивное откольное разрушение мишени. При этом механическая чистота поверхностей разделя оставалась практически той же, что и до соударения: $\sqrt{\bar{h}^2} \approx 2,5$ мкм. Этим обстоятельством позволили предположить, что при плоском столкновении в воздухе при нормальном давлении механическое взаимодействие пластин не происходит ввиду наличия газовой прокладки, препятствующей физическому контакту материала пластин. Иначе подобные опыты необходимо ставить в вакууме, когда длина свободного пробега молекулы воздуха больше начального расстояния l между пластинами. При типичных $l \sim 1 \div 3$ см необходимо разрежение менее 10^{-1} Па.

В опытах по схеме рис. 1, б сборка откачивалась адсорбционным насосом [5] до давления менее 10^{-2} Па. В качестве адсорбента использовался цеолит марки А5, предварительно прогреваемый в вакууме при 250°C и перед опытом охлажденный жидким азотом. Ударник 1 из нержавеющей стали ($\delta_1 = 3$ мм) ускорялся до $v_1 = 1$ км/с и ударял по медной мишени 2, заключенной в ампулу сохранения 3. Мишень выполнена в виде тупого угла со скругленной вершиной ($\theta = 26,5^\circ$, радиус сопряжения 5 см). На участке CD выполнялось условие $\gamma = \theta$ и осуществлялось плоское соударение с тангенциальным разрывом $\Delta v_r = -115$ м/с.

Фотография шлифа полученного соединения приведена на рис. 2. Величина остаточной линейной деформации мишени составляла около 1%, что позволяет с погрешностью 1 мм выделить на шлифе характерные точки профиля. На участке AB реализуется обычный режим сварки взрывом с $\gamma_0 = 26,5^\circ$, $v_k = 2,2$ км/с, $\lambda = 5,3$ мм. На отрезке CD точки контакта нет, и происходит рассложение пластин, несмотря на наличие тангенциального разрыва. На соударяющихся плоскостях — следы интенсивной пластической деформации.

На участке сопряжения BC угол соударения уменьшается до нуля, а расчетное значение скорости точки контакта v_k растет, проходя в точке

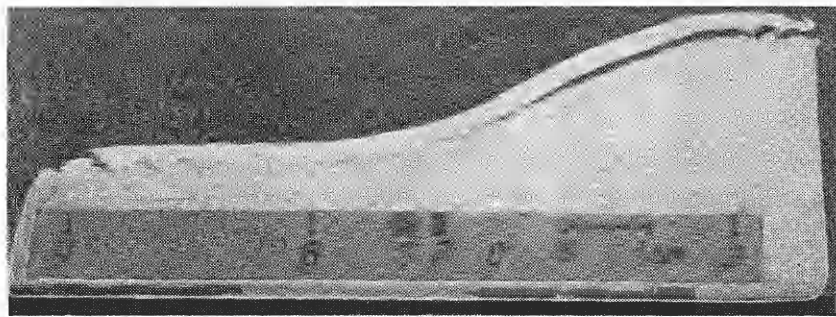


Рис. 2.

S через скорость звука в меди. В точке *P* угол соударения становится меньше критического $\gamma_{kp} = 10^\circ$, определенного по [6]. Положение точек *S* и *P* мало чувствительно к возможным ошибкам в величине γ_0 : изменение γ_0 на 10% приводит к смещению координаты точек на ± 1 мм. При этом в точке *P* $v_k = 6 \div 6,4$ км/с. На участке *BP* получено достаточно прочное соединение, не разрываемое в волне разгрузки. На отрезке *CP* течение в окрестности точки контакта становится сверхзвуковым [1, 6], и вдоль шва наблюдаются трещины, хотя расслоение пластин не проходит.

В опытах характерное время действия импульса высокого давления и тангенциального разрыва на границе раздела до прихода растягивающих напряжений со стороны свободных поверхностей составляло около 2 мкс. Полученные результаты показывают, что поверхность соударения пластин при плоском столкновении остается устойчивой, несмотря на наличие тангенциального разрыва с интенсивностью до 170 м/с. Возмущения поверхности раздела не успевают вырасти по механизму неустойчивости Кельвина — Гельмгольца до наблюдаемого размера, что, возможно, связано как с малым временем существования разрыва, так и с малой амплитудой исходных, случайных «затравочных» возмущений поверхности при плоском столкновении.

Следует отметить, что в [7] приведены данные, свидетельствующие «...о возможности развития неустойчивости Кельвина — Гельмгольца в металлах под действием ударных волн при величине тангенциального разрыва $\Delta u \sim 0,5$ мм/мкс...». Однако использованная экспериментальная постановка сложна для однозначной интерпретации результатов опыта. Например, непонятно, почему на границе *b* (обозначения по [7]) не наблюдается образования волн, хотя границы *a* и *b* при торможении находятся, по сути дела, в одинаковых условиях.

Автор признателен Л. В. Овсянникову за постановку задачи и В. М. Титову за полезные обсуждения.

Поступила в редакцию
26/III 1981

ЛИТЕРАТУРА

1. А. А. Дерибас. Физика упрочнения и сварки взрывом. Новосибирск: Наука, 1980.
2. Дж. Н. Хант. Механика, 1969, 1, 140.
3. Ю. А. Гордополов, А. Н. Дремин, А. Н. Михайлов. ФГВ, 1978, 14, 4, 77.
4. С. К. Годунов, А. А. Дерибас, Н. С. Козин. ПМТФ, 1971, 3, 63.
5. С. Дэшман. Научные основы вакуумной техники. М.: Мир, 1964.
6. Г. Е. Кузьмин, И. В. Яковлев. ФГВ, 1973, 9, 5, 746.
7. А. Н. Михайлов. ФГВ, 1979, 15, 2, 158.